



زمین‌شناسی، دگرسانی، کانی‌سازی و ژئوشیمی گستره پی‌جوبی شکسته‌سبز شمال‌غرب بیرجند

مریم جاویدی مقدم^{۱*}، محمدحسن کریم‌پور^۲، آزاده ملک‌زاده شفارودی^۲، محمدرضا حیدریان شهری^۲

۱. گروه زمین‌شناسی، دانشکده علوم، دانشگاه فردوسی مشهد

۲. گروه پژوهشی اکتشافات ذخایر معدنی شرق ایران، دانشگاه فردوسی مشهد

(دریافت مقاله: ۹۲/۶/۲۹، نسخه نهایی: ۹۲/۶/۲۰)

چکیده: منطقه‌ی شکسته‌سبز در شرق ایران و در ۹۶ کیلومتری شمال‌غرب بیرجند واقع شده است. پی‌جوبی اولیه در این منطقه به یاری پردازش داده‌های ماهواره‌ای آستر به روش نقشه‌بردار زاویه‌ی طیفی، دگرسانی‌های پروپلیتیک، آرژیلیک و سرسیتیک را نشان داد که با مشاهدات صحراوی تایید شدند. این گستره شامل برونزدهایی از آتشفشارهای پالئوسن- ائوسن بوده که واحدهای نیمه‌عمیق با ترکیب حدواسط در آنها نفوذ کرده‌اند. دگرسانی‌های اصلی عبارتند از پروپلیتیک، آرژیلیک و سیلیسی- کربناته. کانی‌سازی به شکل‌های رگه‌ای (مرکز و غرب منطقه)، رگچه‌ای و پراکنده (شرق و غرب منطقه) دیده می‌شود. رگه‌ها دارای راستای شمال‌غربی- جنوب‌شرقی تا شمال‌شرقی- جنوب‌غربی و شبیه ۸۵ تا ۹۰ درجه دیده می‌شوند. به دلیل تاثیر زیاد فرآیندهای هوازدگی بر کانی‌سازی اولیه، کانی‌سازی ثانویه سولفیدی و اکسیدی گسترش گستردۀ ای داشته و مالاکیت، آزویریت، کالکوزیت، کوولیت، هماتیت و گوتیت تشکیل شده‌اند. بقایایی از کانی‌های اولیه پیریت، کالکوپیریت و مگنتیت نیز دیده می‌شوند. کانی‌های باطله عبارتند از کلسیت، کوارتز و باریت. حداقل مقادیر پراکنده‌ی مس و روی در رسوب‌های آبراهه‌ای در مناطقی است که در بالادست آن کانی‌سازی رگه‌ای و منطقه‌های دگرسانی پروپلیتیک، آرژیلیک- سرسیتیک و سیلیسی وجود دارند. گستره‌ی تغییرات عناصر در نمونه‌های ژئوشیمیایی بر مبنای سنگ در رگه‌ها به صورت زیر است: مس ۲۴-۰/۶ درصد، مولیبدن ۲۹۹۰-۷۷ گرم در تن، روی ۷۵۴-۲۴ گرم در تن، و نقره ۸-۱/۴ گرم در تن. بیشترین میزان عناصر در نمونه‌های ژئوشیمیایی بر مبنای سنگ در محل کانی‌سازی رگچه‌ای و پراکنده در واحدهای آندزیتی برای مس، ۴۵۰ گرم در تن، روی ۱۶۲ گرم در تن، سرب ۳۰۹ گرم در تن، مولیبدن ۷۷ گرم در تن است. با توجه به نوع دگرسانی‌ها، بی‌هنگاری عناصر مس، روی، نقره و مولیبدن و ارتباط کانی‌سازی با سیستم شکستگی‌ها می‌توان کانسار شکسته‌سبز را در رده‌ی کانسارهای ورا گرمای نوع رگه‌ای قرار داد.

واژه‌های کلیدی: بلوک لوت؛ کانی‌سازی رگه‌ای؛ دگرسانی؛ ژئوشیمی؛ شکسته‌سبز

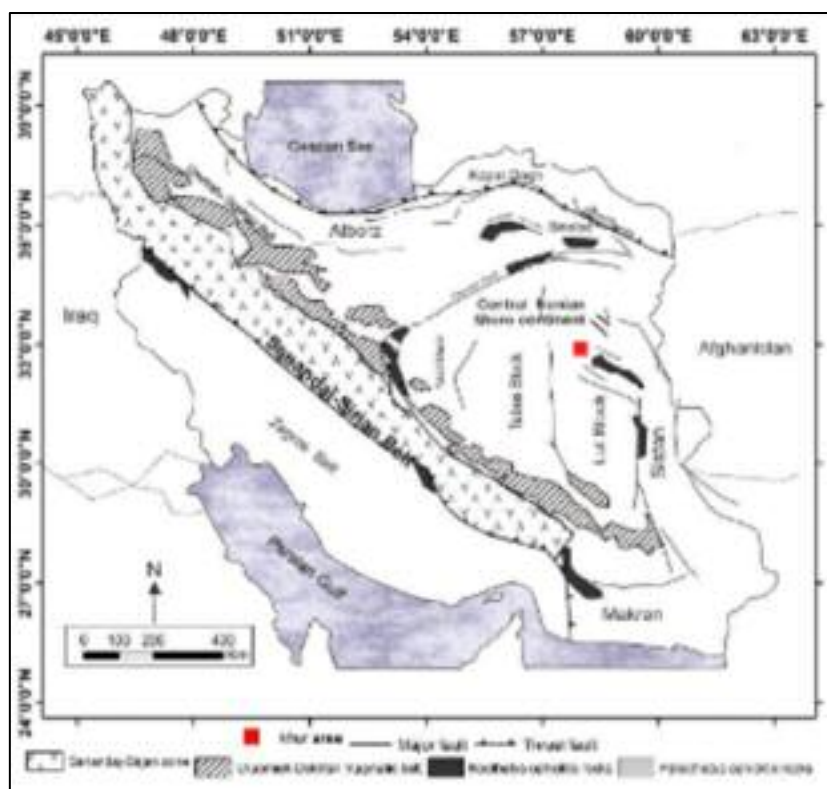
شده است.

مقدمه

این کانسار از نظر تقسیمات ساختاری در شمال بلوک لوت واقع شده است (شکل ۱) [۱-۳]. بلوک لوت با درازای حدود ۹۰۰ کیلومتر به صورت شمالی- جنوبی و عرض حدود ۲۰۰ کیلومتر، شرقی‌ترین بخش خردقاره‌ی ایران مرکزی است [۴].

منطقه‌ی پی‌جوبی شکسته‌سبز در شرق ایران و در گستره‌ای بین طول‌های "۱۷°۲۱' تا ۴'۲۳°۵۸'" شرقی و عرض‌های ۹۶ گرفاییایی "۱۴°۳۳' تا ۲۵'۴۱°۳۳'" شمالی و در فاصله‌ی ۹۶ کیلومتری شمال‌غرب بیرجند در استان خراسان جنوبی واقع

* نویسنده مسئول، تلفن- نمبر: ۰۵۱۳ ۸۷۹۷۷۲۵، پست الکترونیکی: javidi_geo@yahoo.com



شکل ۱ موقعیت منطقه‌ی مورد بررسی در بلوک لوت [۳-۱].

به عقیده‌ی کریمپور و همکاران [۱۴] وجود کانی‌سازی‌های مس پورفیری در زمان‌های مختلف و نیز توده‌های سری ایلمنیت همچون شاهکوه و توده‌های نیمه‌عمیق منطقه هیرد با سن‌های متفاوت، نشان‌دهنده‌ی منطقه‌ی فرورانش و مرحله‌ی برخورد در بلوک لوت است. بنابراین ارتباط دادن تمام کانی‌سازی‌های شرق ایران به شرایط کششی منطقه کاملاً اشتباہ است. فاصله زمانی بین ۳۳ تا ۴۲ میلیون سال قبل (ائوسن میانی تا اوایل الیگوسن)، مهم‌ترین پنجره‌ی زمانی کانی‌سازی در شرق ایران و بلوک لوت، به ویژه گستره‌ی استان خراسان جنوبی است [۱۵]. انواع کانی‌سازی مس - طلا پورفیری، طلای واسته به توده‌های نفوذی احیایی، طلای وراگرمای با سولفید بالا، اسکارن آهن، رگه‌های Pb-Zn-Sb و IOCG شناسایی شده‌اند. لذا گرانیتوئیدهای تشکیل شده در گستره‌ی زمانی ۳۳ تا ۴۲ میلیون سال که در بلوک لوت و شمال آن قرار دارند، برای این مجموعه کانی‌سازی پیشنهاد می‌شوند [۱۵].

گستره‌ی شکسته سبز در ۱۱ کیلومتری شمال روستای خور قرار گرفته است. شمال خور به دلیل حضور کانی‌سازی‌های رگه‌ای نوع سرب، روی و مس (شورک) و مس (حوض‌دغ،

مرز شمالی این بلوک گسل درونه، مرز شرقی گسل نهندان، مرز غربی گسل نایند و بلوک طبس و مرز جنوبی آن فروافتادگی جازموریان است [۵]. مهم‌ترین ویژگی لوت که آن را از دیگر بخش‌های خرد قاره‌ی ایران مرکزی جدا می‌کند، وجود حجم عظیم ماقماتیسم ترشیاری، به ویژه سنگ‌های آتشفسانی است که با داشتن ضخامتی در حدود ۲۰۰۰ متر بیش از نیمی از بلوک لوت را می‌پوشاند. وجود فعالیت‌های ماقمایی گسترده با ویژگی‌های ژئوشیمیایی متفاوت در نقاط مختلف، باعث شده تا بلوک لوت پتانسیل بسیار مناسبی برای تشکیل انواع کانی‌سازی‌های فلزی و غیر فلزی داشته باشد. نظریه‌های زمین‌ساختی مختلفی در مورد چگونگی شکل‌گیری بلوک لوت وجود دارند. بیشتر آن‌ها وجود یک چرخه‌ی کامل کوه‌زایی شامل ریفتی شدن، تشکیل اقیانوس کوچک بین بلوک لوت و افغان، فرورانش پوسته‌ی اقیانوسی، بسته شدن اقیانوس و برخورد لوت و افغان را مطرح کرده‌اند [۱۱-۶] و کانسارهای شرق ایران را وابسته به آن‌ها می‌دانند. برخی دیگر نیز مسئله فرورانش را رد کرده و تشکیل کانی‌سازی را به وجود شرایط کششی نسبت داده‌اند [۱۳, ۱۲].

بررسی بیش از ۸۰ مقطع نازک، ۲۰ مقطع نازک صیقلی و ۱۰ بلوك صیقلی بهمنظور بررسی‌های سنگ‌شناسی، دگرسانی و کانی‌سازی؛ پ) تهیی نقشه‌های زمین‌شناسی، دگرسانی و کانی‌سازی رقومی منطقه با مقیاس ۱:۲۰۰۰۰ ت) بررسی و تفسیر داده‌های ژئوشیمیابی رسوب‌های آبراهه‌ای و بررسی‌های ژئوشیمیابی بر پایه‌ی نمونه‌های خردمندی حاصل از برداشت-های سازمان صنایع و معادن به روش MS ICP که در آزمایشگاه ALS-CHEMX کانادا انجام شده است [۲۲].

بررسی‌های دورسنجی

بررسی‌های دورسنجی و به کارگیری داده‌های ماهواره‌ای برای آشکارسازی منطقه‌های دگرسانی، در دهه‌های اخیر مورد توجه خاصی قرار گرفته‌اند. پیشرفت‌های حاصل شده در بررسی و تفسیر تصاویر ماهواره‌ای به همراه سرعت بالا، کارایی و ارزان بودن این روش‌ها، متخصصان پی‌جويی ذخایر را در جهت کاربرد روز افزون و گسترش روش‌های پردازش تصاویر در پی جویی انواع مختلف کانساری حرکت می‌دهد [۲۴، ۲۳]. در این ۱b-331 بررسی از داده‌های سنجنده ASTER با شماره ۰۳۰۸۰۱ که در تاریخ ۱۸/۰۶/۲۰۰۱ تصویر برداری شده، استفاده شد. به منظور جدایش دگرسانی از روش نقشه‌بردار زاویه‌ی طیفی (Spectral Angel Mapper) استفاده شد. این روش نوعی منطقه‌بندی هدایت (Supervised Classification) شده است که از مقایسه‌ی طیف تصاویر و طیف استاندارد یا کتابخانه‌ی طیفی استفاده می‌کند [۲۷-۲۵]. از روش SAM برای کانی‌های دیکیت، ایلیت، کائولینیت، پیروفلیلت، مونتموریونیت، لیمونیت، ژاروسیت، گوتیت، کلریت، زئوزیت و اپیدوت استفاده شد و زاویه‌ی بهینه برای هر کانی با توجه به مشاهدات صحرایی به دست آمد (جدول ۱). شدت و گسترش پراکنده‌ی این کانی‌ها منجر به شناسایی و جدایش دگرسانی‌های زیر شده‌اند (شکل ۲-۴).

مهرخش، رشیدی و غار کفتری) [۱۶] حائز اهمیت است. ملک-زاده و کریمپور [۱۷] با پردازش‌های ماهواره‌ای به روش SAM در گستره‌ی شمال خور، این منطقه را برای کانی‌سازی مس پورفیری و وراگرمهای وابسته مناسب دانسته اند. همچنین حضور کانی‌سازی‌هایی مانند کانسار مس- طلای پورفیری ماهرآباد و خوییک [۱۸]، کانی‌سازی نوعی طلای وراگرمای سولفید بالای کوهشاه [۱۹] و کانی‌سازی طلای وراگرمای خونیک [۲۰] در بخش جنوب‌شرقی این ناحیه می‌توانند به عنوان مهمترین کلیدهای پی‌جويی، ارتباط این مناطق را با کانی‌سازی‌های مس پورفیری و وراگرمهای وابسته نشان دهند. وجود حفاری‌های قدیمی فراوان در این منطقه نشانده‌ی حجم وسیع فعالیت‌های معدنکاری قدیمی در این منطقه بوده و بر اهمیت اقتصادی منطقه می‌افزاید. تاکنون بروزهای پی‌جويی مقدماتی، نیمه تفصیلی و تفصیلی مواد معدنی در شهرستان سرایان وابسته به سازمان صنایع و معادن خراسان جنوبی، به وسیله‌ی شرکت پارس‌کانی و شرکت ایتوک انجام شده است. منطقه‌ی شکسته سبز نیز بخشی از این بروزه پی‌جويی بوده است [۲۱، ۲۲]. شرکت ایتوک اطلاعاتی درباره‌ی زمین‌شناسی، ژئوشیمی و لاغهای حفاری از منطقه ارائه کرده است. هدف از این کار پژوهشی، تهیی نقشه‌ی زمین‌شناسی منطقه با تأکید ویژه بر شناسایی و جدایش توده‌های نفوذی از سنگ‌های آتشفسانی، بررسی دگرسانی‌ها و منطقه‌بندی آن‌ها، بررسی انواع مختلف کانی‌سازی و ویژگی‌های آن‌ها و تهیی نقشه‌ی توزیع اکسیدهای آهن ثانویه و بررسی‌های ژئوشیمیابی در منطقه‌ی مورد بررسی است.

روش بررسی

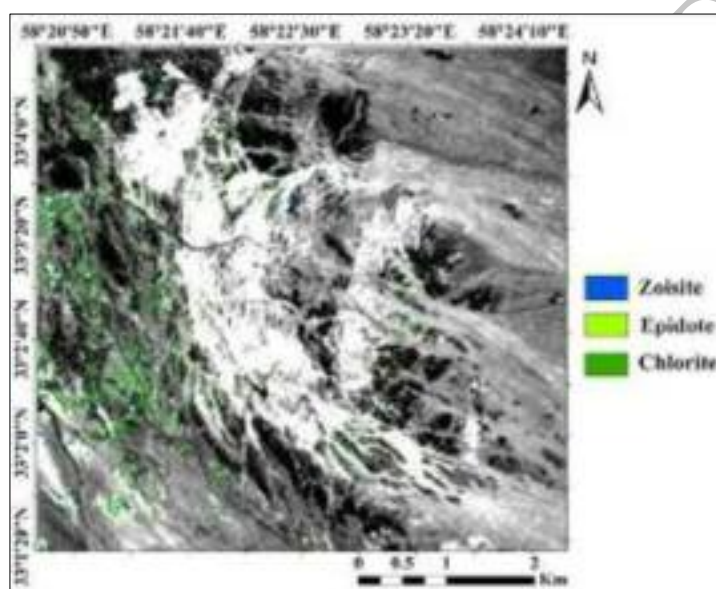
الف) پردازش تصاویر ماهواره‌ای ASTER به منظور جدایش زون‌های دگرسانی و شدت و پراکنده‌ی آن‌ها به یاری نرم‌افزار ENVI 4.2 به روش نقشه‌بردار زاویه‌ی طیفی؛ ب) تهیی

جدول ۱ زاویه‌ی طیفی بهینه برای کانی‌های موجود در منطقه که در مشاهدات صحرایی مشاهده شده است.

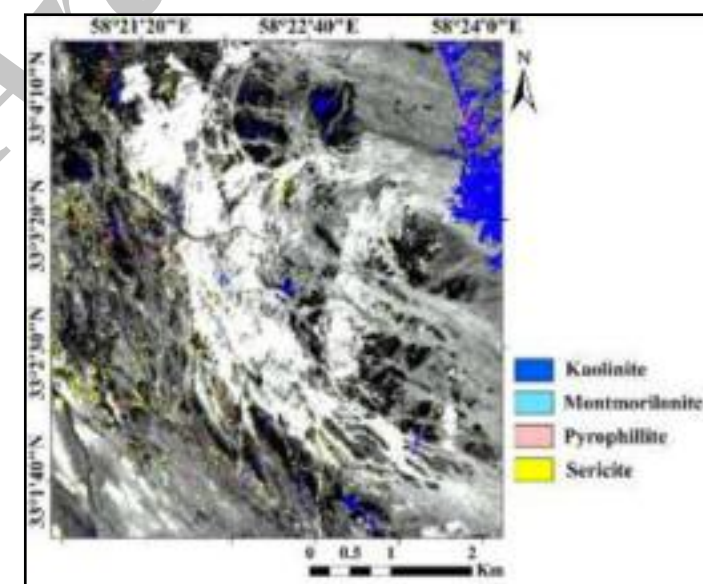
کانی‌های دگرسانی	Kaolinite	Montmorillonite	Illite	Pyrophyllite	Dikite
زاویه طیفی بهینه	۰/۳۲	۰/۲۲	۰/۳۴۲	۰/۲۲	۰/۳۵۲
Chlorite	Epidote	Zoisite	Jarosite	Gypsum	Limonite
۰/۵۱	۰/۲۸	۰/۰۸۵	۰/۲۸	۰/۳۴۰	۰/۶۲

سرسیت به دست آمده از پردازش تصاویر آستر به عنوان شاخص زون آرژیلیک، نشان می‌دهد که این دگرسانی در بخش‌های شمال‌شرقی تا جنوب‌غربی رخ داده است (شکل ۳) و گسترش نسبتاً کمتری نسبت به منطقه پروپلیتیک دارد. همچنین مقایسه‌ی کانی‌های گوتیت، ژیپس، ژاروسیت و لیمونیت به عنوان کانی‌های ثانویه نماینده‌ی زون گوسان نشان می‌دهد که این زون در بخش‌های غربی و مرکز گستره گسترش یافته است (شکل ۴).

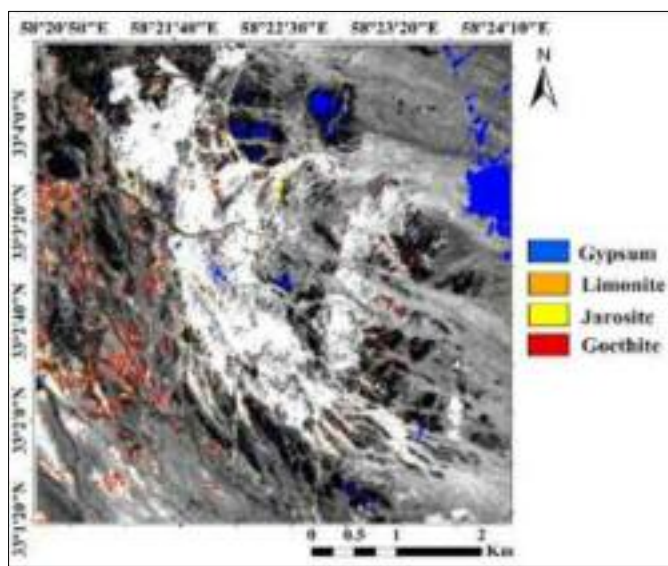
مقایسه‌ی کانی‌های کلریت، اپیدوت و زئوزیت به دست آمده از پردازش تصاویر آستر به عنوان شاخص منطقه‌ی پروپلیتیک، نشان می‌دهد که کلریت در این گستره گسترش فراوانی داشته و بررسی‌های صحرایی نیز آن را تایید می‌کنند. دگرسانی پروپلیتیک که گسترش نسبتاً زیادی دارد، در بخش غرب و جنوب‌غربی تصویر گسترش بیشتری یافته است. در بخش شرقی منطقه نیز با گسترش کمتر مشاهده می‌شود (شکل ۲). مقایسه‌ی کانی‌های کائولینیت، مونتموریونیت، پیروفیلیت،



شکل ۲ تصاویر ماهواره‌ای آستر، که دگرسانی پروپلیتیک بر روی آن بارزسازی شده است.



شکل ۳ تصاویر ماهواره‌ای آستر، که دگرسانی آرژیلیک بر روی آن بارزسازی شده است.



شکل ۴ تصاویر ماهواره‌ای آستر، کانی‌های لیمونیت، ژیپس، گوتیت و ژاروویت بر روی آن بارزسازی شده است.

- واحد پیروکسن آندزیت در شمال و جنوب، واحد پیروکسن هورنبلند آندزیت در شمال منطقه و هورنبلند پیروکسن آندزیت در جنوب‌غربی منطقه گسترش یافته‌اند (شکل ۵). علاوه بر حضور بافت ویتروفیری، بافت‌های ارتوفیری و گلومروپورفیری در این واحدها مشاهده می‌شوند. در بافت ارتوفیری بلورهای پلازیوکلاز به صورت مستطیل‌های کوتاه، تشكیل‌دهنده سنگ عبارتند از پلازیوکلاز و پیروکسن. در این واحدها، پلازیوکلازها در بعضی نقاط به کانی‌های رسی و کربناته دگرسان شده‌اند، که در برخی قسمت‌ها این تبدیل شدگی به صورت کامل بوده است.

- کریستال توف در بخش‌های جنوبی منطقه گسترش یافته است (شکل ۵). در صحراء به رنگ زرد تا قهوه‌ای دیده می‌شود. این واحد بیشتر حاوی بلورهای پلازیوکلاز و هورنبلند و به مقدار خیلی کم حاوی خرده‌سنگ است.

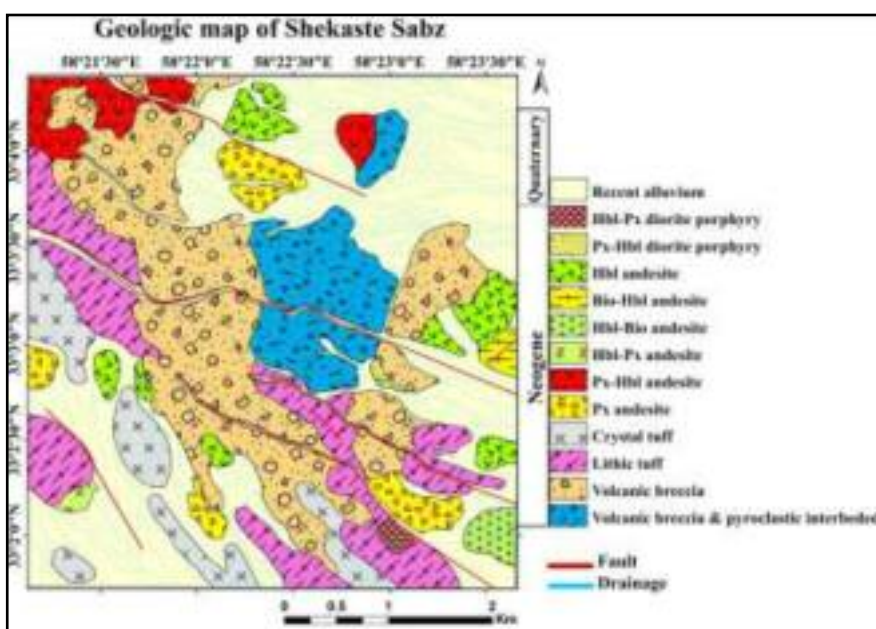
- برش آتشفسانی: این واحد شامل قطعاتی از سنگ‌های آتشفسانی با زمینه‌ای با ترکیب داسیتی بوده و بیشترین گسترش را در منطقه دارد (شکل ۵). قطعات سنگی آن در حد پیروکسن آندزیت، تراکی آندزیت و لاتیت هستند. حفره‌ها با کوارتز با بافت ریز بلور پرکننده فضای خالی است. رگه-رگچه‌های سیلیسی و سلیسی-کربناتی در زمینه‌ی این واحد مشاهده می‌شوند. زمینه به شدت سیلیسی و کربناتی شده است.

زمین‌شناسی

گستره‌ی پی جویی شکسته‌سierz از نظر زمین‌شناسی ناخیه‌ای در گوشه‌ی جنوب‌شرقی برگه ۱:۱۰۰۰۰ سارغنج قرار گرفته است [۱۶]. بنابر این نقشه، بخش بزرگ منطقه شامل سنگ‌های آتشفسانی و پیروکلاستیک است. با تأکید بر گستره‌ی اصلی کانی‌سازی و دگرسانی، نقشه‌ی زمین‌شناسی منطقه با مقیاس ۱:۲۰۰۰۰ تهیه شد (شکل ۵). براساس بررسی

های صحرایی و آزمایشگاهی انجام شده، واحدهای زمین‌شناسی شناسایی شده در گستره‌ی پی جویی شکسته سierz را می‌توان به ۳ بخش تقسیم کرد (شکل ۵): ۱- سنگ‌های آتشفسانی و پیروکلاستیک پالئوسن-ائوسن ۲- توده‌های نیمه‌عمیق که برای اولین بار شناسایی شدند و در سنگ‌های آتشفسانی نفوذ کرده‌اند. ۳- تراس‌های آبرفتی متعدد، رسوب‌های مخروط افکنه‌ای، دشت سیلابی و رسوب‌های رودخانه‌های این زمان.

- هورنبلند آندزیت بیشترین گسترش را نسبت به دیگر واحدهای آتشفسانی در منطقه دارد (شکل ۵). واحد هورنبلند بیویت آندزیت در جنوب شرق و واحد بیویت هورنبلند آندزیت در شرق منطقه بیرون زدگی کمی دارند (شکل ۵). بافت این واحدها پورفیری و گلومروپورفیری با زمینه‌ی ریز بلورین تا شیشه است. فنوکریسته‌های تشكیل‌دهنده‌ی سنگ شامل پلازیوکلاز، هورنبلند و بیویت است. در این واحدها، پلازیوکلازها در بعضی نقاط به کانی‌های اپیدوت و رسی دگرسان شده‌اند.



شکل ۵ نقشه‌ی زمین‌شناسی منطقه‌ی شکسته سبز.

دگرسانی

دگرسانی در منطقه گسترش زیادی داشته و تمام واحدهای آتشفسانی، نفوذی و آذرآواری را تحت تاثیر قرار داده است. براساس بررسی‌های صحرایی و آزمایشگاهی ۳ نوع دگرسانی اصلی در سطح شناسایی شده‌اند که عبارتند از: ۱- پروپلیتیک ۲- آرژیلیک ۳- سیلیسی-کربناتی. این ۳ نوع دگرسانی براساس فراوانی کانی‌های حاصل از دگرسانی به ۷ زیر زون تفکیک شده‌اند. که عبارتند از: ۱- منطقه‌ی پروپلیتیک ۲- منطقه‌ی پروپلیتیک-آرژیلیک ۳- منطقه‌ی آرژیلیک-پروپلیتیک ۴- آرژیلیک - کربناتی-پروپلیتیک ۵- منطقه‌ی آرژیلیک- سرسیت ۶- منطقه‌ی آرژیلیک- سرسیت- کربناتی ۷- منطقه‌ی سیلیسی-کربناتی (شکل ۶).

- دگرسانی پروپلیتیک در بخش‌های شرقی و شمالی منطقه رخمنون دارد (شکل ۶). در صحراء به رنگ سبز تیره دیده می‌شود. واحدهای هورنبلندهای آندزیت، بیوتیت هورنبلندهای آندزیت و آگلومرا تحت تاثیر این دگرسانی قرار گرفته‌اند. مهم‌ترین کانی‌های این دگرسانی عبارتند از کلریت، اپیدوت و زئولیت و گاه همراه با کانی‌های رسی و سرسیت است. مقدار این کانی‌ها در نقاط مختلف متفاوت است. مقدار اپیدوت از ۱ تا ۱۰ درصد و کلریت از ۱۰ تا ۱۵ درصد تغییر می‌کند. اغلب این کانی‌ها حاصل دگرسان شدن کانی‌های آهن و منیزیم‌دار و پلازیوکلازها

- برش‌های آشتفشانی و آذرآواری‌های بین لایه‌ای: قسمت - برش‌های آشتفشانی و آذرآواری‌های بین لایه‌ای: بخش مرکزی نقشه را پوشانده است، که شامل واحد برش‌های آشتفشانی و واحد آذرآواری هستند که به صورت بین لایه‌ای قرار گرفته‌اند (شکل ۵). واحد آذرآواری شامل قطعات کمی گردشده تا گرد شده آندزیتی است که به‌وسیله خاکسترها آندزیتی به‌هم جوش خورده‌اند.

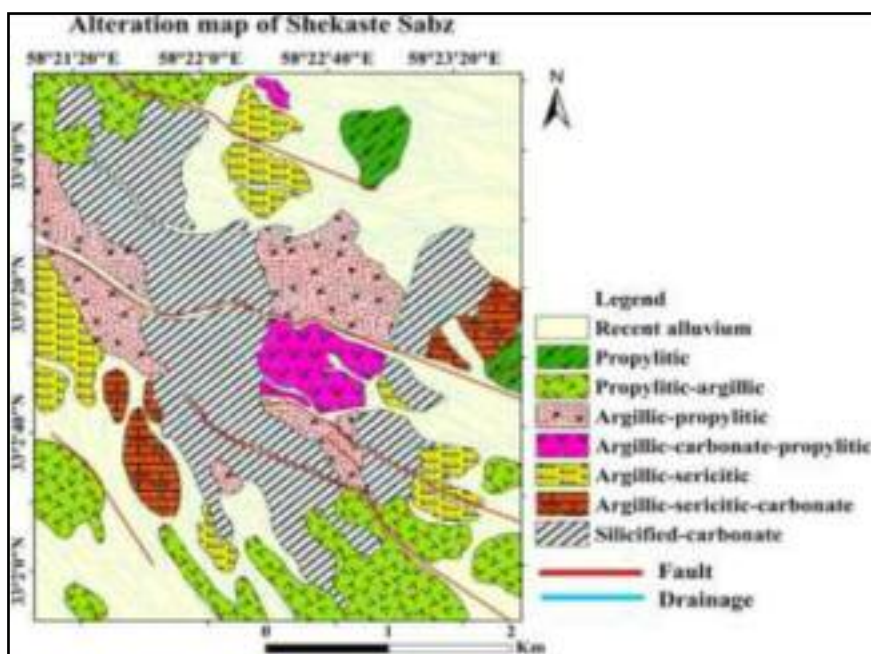
- لیتیک توف در بخش مرکزی گستره‌ی مورد بررسی بیرون زدگی داشته و در صحراء به رنگ تیره دیده می‌شود (شکل ۵). قطعات سنگی این واحد در حد آندزیت، تراکی آندزیت و داسیت‌اند. زئولیت‌ها (۵-۳ درصد) به شکل ثانویه فضای بین درز و شکستگی‌ها را پر کرده‌اند.

- هورنبلندهای پیروکلسن دیوریت پورفیری در جنوب‌شرقی و هورنبلندهای دیوریت پورفیری در شرق منطقه با گسترش خیلی کم بیرون زدگی دارند (شکل ۵). این واحدها بافت پورفیری داشته و فنوکریست‌های آن از پلازیوکلاز، هورنبلندهای پیروکلسن تشکیل شده‌اند. زمینه‌ی سنگ نیز شامل کانی‌های فنوکریست است. پلازیوکلازها به کانی‌های رسی و در برخی موارد به سرسیت تبدیل شده‌اند. هورنبلندهای پیروکلسن به صورت کلریت و کانی‌های کدر دیده شده‌اند.

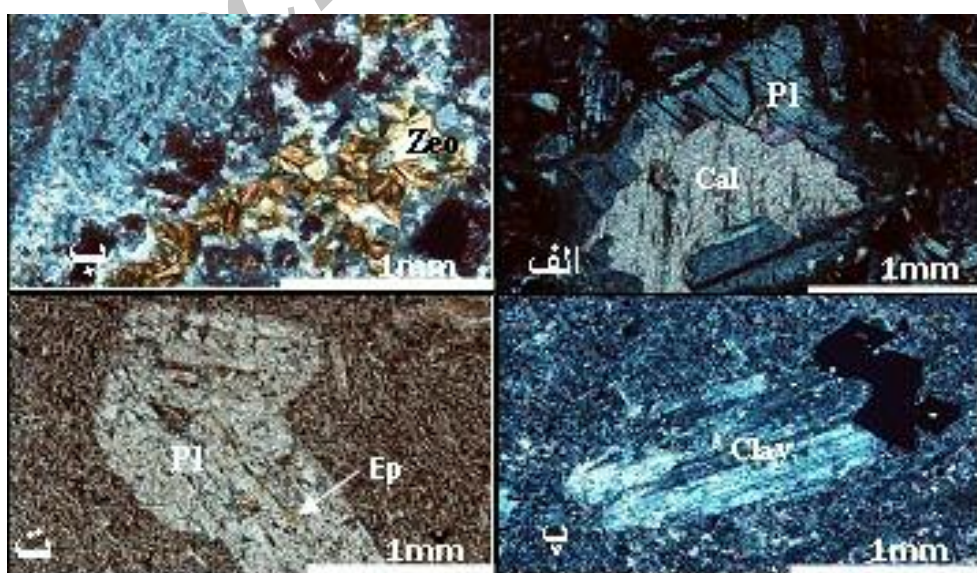
میزان کمتر در شمال منطقه گسترش داشته (شکل ۶) و بیشتر واحدهای لیتیک توف، توف بلوری، هورنبلند پیروکسن آندزیت و هورنبلند پیروکسن دیوریت پورفیری را تحت تاثیر قرار داده است. کانی‌های پلازیوکلاز به صورت بخشی به اپیدوت (۵ تا ۷ درصد) و کربنات (۳ درصد)، کانی‌های پلازیوکلاز نیز به کانی‌های رسی (۵ تا ۱۲ درصد) دگرسان شده‌اند.

هستند. در پلازیوکلازها علاوه بر تبدیل شدن آن‌ها به دانه‌های ریز اپیدوت در راستای ماکل، تبدیل شدن آن‌ها به کلسیت (کمتر از ۲ درصد) شاهد هستیم (شکل ۷. الف). حفره‌های سنگ اغلب با کلریت، کلسیت و زئولیت پر شده‌اند (شکل ۷. ب).

- دگرسانی پروپلیتیک-آرژیلیک در بخش‌های جنوبی و به



شکل ۶ نقشه‌ی دگرسانی منطقه‌ی شکسته سبز.



شکل ۷ الف) تبدیل پلازیوکلاز به کلسیت در نور XPL ب) حفرات پر شده با زئولیت در نور XPL پ) تبدیل پلازیوکلاز به کانی رسی در نور PPL ت) تبدیل پلازیوکلاز به اپیدوت در نور PPL (Pl: پلازیوکلاز، Zeo: زئولیت، Cal: کلسیت، Ep: اپیدوت، Clay: کانی رسی).

منطقه را در بر گرفته و گسترش نسبتاً زیادی در منطقه دارد. (شکل ۶). زمینه‌ی سنگ ۵-۳ درصد سیلیسی شده است. کلسیت گاه تا بیش از ۱۰ درصد در این زون دیده می‌شود.

کانی‌سازی

در منطقه‌ی شکسته‌سیبز، کانی‌سازی به شکل‌های رگه‌ای، رگچه‌ای و پراکنده دیده می‌شود. کانی‌های سولفیدی و اکسیدی که در سطح دیده می‌شوند شامل پیریت، مگنتیت و به مقدار خیلی کم از کالکوپیریت تشکیل شده است. کانی‌های ثانویه به صورت کالکوسیت، کوولیت، هماتیت، گوتیت، ملاکیت و آزوریت دیده می‌شوند.

- کانی‌سازی رگه‌ای: بیشتر در بخش مرکزی و غرب منطقه دیده شده‌اند. راستای رگه‌ها بیشتر شمال‌غربی- جنوب‌شرقی تا شمال‌شرقی- جنوب‌غربی با شیب ۸۵ درجه تا قائم و عرض حداقل یک متر وجود دارند. بنا بر شواهد صحراوی، دگرسانی سیلیسی و آرژیلیکی بیشترین دگرسانی حاشیه‌ی رگه‌ها بوده و ضخامت آن‌ها از چند سانتی‌متر تا یک متر متغیر است. رگه‌ها بیشتر در واحدهای آذرآواری و به میزان کمتر در واحدهای آتشفسانی تشکیل شده‌اند. تمامی این رگه‌ها در راستای زون-های گسلی و شکستگی‌ها تشکیل شده‌اند. کانی‌زایی بیشتر به صورت رگه‌های سیلیسی- سولفیدی صورت گرفته است. رگه‌ها شامل: ۱- کلسیت- ملاکیت- اکسیدهای آهن- کوارتز کریپتو کریستالین، ۲- کلسیت- ملاکیت، ۳- ملاکیت- کالکوسیت- سیلیس- اکسیدهای منگنز، ۴- کلسیت- ملاکیت- کوارتز کریپتو کریستالین، ۵- باریت- ملاکیت- اکسیدهای آهن و ۶- هماتیت- مگنتیت- پیریت- سیلیس- ملاکیت دیده می‌شوند.

- کانی‌سازی رگچه‌ای: در بخش‌های جنوب‌غربی و شرق منطقه و بیشتر در واحدهای آتشفسانی دیده می‌شود. از نظر ترکیب، کانی‌شناسی شامل رگچه‌های کوارتز- اکسیدهای آهن، سیلیس- اکسیدهای آهن- ملاکیت، کلسیت- اکسید آهن، کلسیت- سیلیس و سیلیس- کالکوسیت- هماتیت- اکسیدهای آهن دیده شده‌اند. ولی بیشترین رگچه‌ها کلسیتی و فاقد کانی‌سازی هستند. رگچه‌ها دارای عرض‌های متفاوت از بیش از ۱۰ سانتی‌متر تا رگچه‌هایی مویی را نشان می‌دهند و رگچه‌هایی با عرض ۳ تا ۴ میلی‌متر فراوانی بیشتری دارند.

- کانی‌سازی پراکنده در بخش شرق و جنوب‌غربی منطقه گسترش یافته‌است. کانی‌زایی به صورت کالکوپیریت، پیریت، کوولیت و مگنتیت در متن سنگ به صورت افshan مشاهده شده است.

- دگرسانی آرژیلیک- سرسیتیک: این واحد گسترش خیلی کم در شمال و جنوب منطقه داشته (شکل ۶) و واحدهای بلور توف، پیروکسن آندزیت و هورنبلند آندزیت را تحت تاثیر قرار داده است. پلازیوکلازهای موجود در قطعات سنگی، به شدت دگرسان شده و اغلب به رس و کمتر به سرسیت تبدیل شده‌اند.

- دگرسانی آرژیلیک- پروپلیتیک گسترش نسبتاً زیادی در بخش‌های شرق و غرب منطقه دارد (شکل ۶). واحدهای آگلومرا، لیتیک توف و هورنبلند آندزیت را تحت تاثیر قرار داده است. پلازیوکلازهای موجود در قطعات سنگی، دگرسان شده و اغلب به رس (۱۰-۱۵ درصد) (شکل ۷.ج) و به طور بخشی به اپیدوت (۳ تا ۵ درصد) و کلسیت (کمتر از ۲ درصد) دگرسان شده‌اند. اغلب کانی‌های فرومیزین کلریتی (۲ تا ۵ درصد) شده‌اند.

- دگرسانی آرژیلیک- کربنات پروپلیتیک در بخش‌های مرکزی و شمال منطقه رخمنون خیلی کم داشته (شکل ۶) و در صحرا به رنگ خاکستری دیده می‌شود. این دگرسانی واحدهای آگلومرا و هورنبلند آندزیت را تحت تاثیر قرار داده است. در پلازیوکلازها علاوه بر تبدیل شدن آن‌ها به کانی‌های رسی (۵-۱۲ درصد)، تبدیل شدن آن‌ها را به کلسیت (تا ۷ درصد) شاهد هستیم. هورنبلندها تا حدودی کلریتی (کمتر از ۵ درصد) شده‌اند. همچنین در بعضی قسمتها پلازیوکلازها در راستای ماکل به اپیدوت (۲ تا ۵ درصد) تبدیل شده‌اند (شکل ۷.د).

دگرسانی آرژیلیک- سرسیت در شمال و غرب منطقه گسترش یافته (شکل ۶) و بیشتر واحدهای لیتیک توف، بلور توف، پیروکسن آندزیت و پیروکسن هورنبلند دیوریت پورفیری را تحت تاثیر قرار داده است. پلازیوکلازهای موجود در قطعات سنگی، دگرسان شده و اغلب به رس و به میزان کمتر به سرسیت (کمتر از ۸ درصد) تبدیل شده‌اند.

- دگرسانی آرژیلیک- سرسیتیک- کربنات در بخش شرق و جنوب غرب منطقه گسترش خیلی کم دارد (شکل ۶). واحدهای بیوتیت هورنبلند آندزیت، هورنبلند آندزیت و بلور توف را تحت تاثیر قرار داده و در صحرا به رنگ خاکستری دیده می‌شود. میزان کانی‌های رسی تا ۱۰ درصد و سرسیت کمتر از ۵ درصد متغیر است. زمینه‌ی سنگ نیز به شدت کربناتی شده است.

- دگرسانی سیلیسی- کربنات واحد برش آتشفسانی را تحت تاثیر قرار داده است. بیشتر بخش‌های شرقی و تا حدودی مرکز

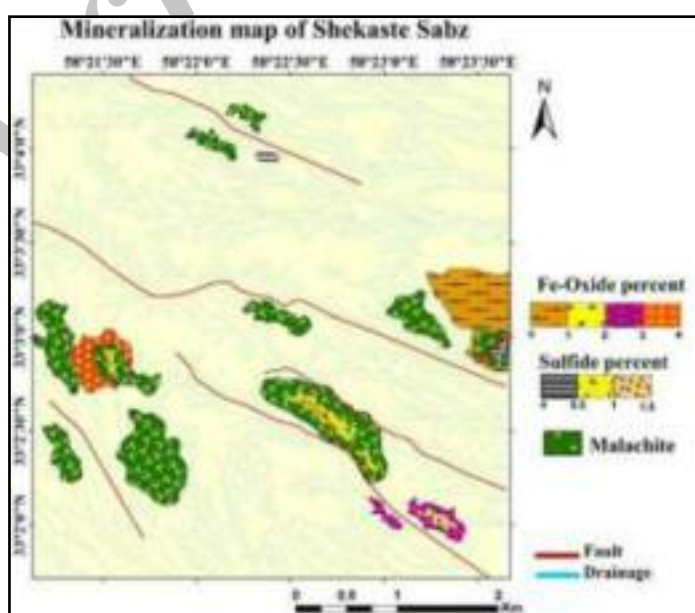
به تمرکز غیرعادی عناصری است که با کانی‌سازی در ارتباطند. توزیع آماری عناصر اصلی در طبیعت عادی است. در شرایطی که سنگ‌ها تحت تأثیر دگرسانی و کانسارسازی قرار گیرند، این توزیع از حالت عادی خارج شده و به شکل غیرعادی درمی‌آید [۲۹].

بی‌جویی‌های ژئوشیمیایی بر پایه‌ی رسوپ‌های آبراهه‌ای بررسی‌های بی‌جویی‌های ژئوشیمیایی در منطقه بر پایه‌ی رسوپ‌های آبراهه‌ای روی ۶۵ نمونه از سوی سازمان صنایع و معادن خراسان جنوبی انجام شده‌اند [۲۲]. بررسی نمونه‌های ژئوشیمی آبراهه‌ای برداشت شده برای طلا به روش جذب اتمی (AAS) در سازمان صنایع و معادن و برای بقیه نمونه‌ها به روش ICP-MS در آزمایشگاه ALS-CHEMX کانادا بوده است [۲۲]. نتایج بررسی‌های ژئوشیمیایی آبراهه‌ای نشان می‌دهد که بیشترین مقدار مس، ۱۱۱/۵ گرم در تن است (شکل ۹-الف). بی‌هنگاری چشمگیر مس در شرق منطقه وابسته به آبراهه‌های ریشه گرفته از واحدهای لیتیک توف و هورنبلند آندزیت و در ارتباط با دگرسانی پروپلیتیک، آرژیلیک-سرسیتیک و سیلیسی و کانی‌سازی رگه‌ای است. در حالی که بی‌هنگاری شمال منطقه به آبراهه‌های ریشه گرفته از واحدهای پیروکسن-هورنبلند آندزیت و برش آتشفسانی و در ارتباط با دگرسانی آرژیلیک-سرسیتیک و سیلیسی-کربناتی و کانی‌سازی پراکنده مس است.

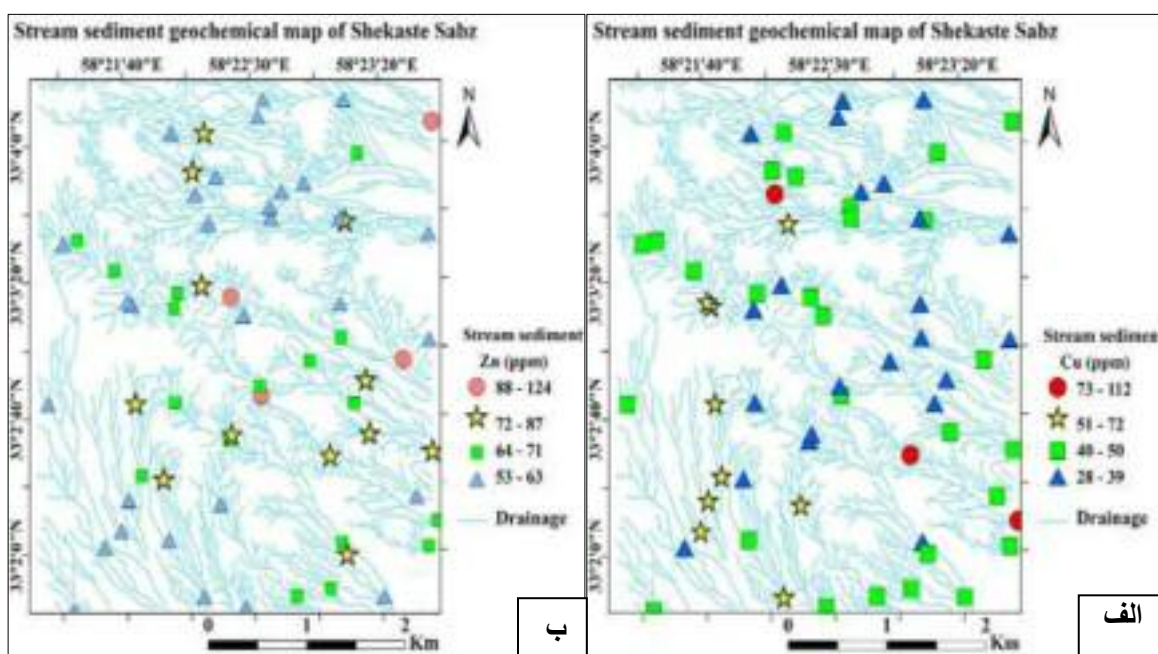
می‌شود و بیشترین میزان کانی‌سازی پراکنده در واحدهای هورنبلند آندزیت و بیوکیت هورنبلند آندزیت دیده می‌شود. در بخش‌های شمالی منطقه در واحدهای آذرآواری غالب‌های پیریت به خوبی در نمونه‌های دستی قابل مشاهده‌اند. پیریت اغلب به هماتیت تبدیل شده و در اکثر موقع قطب غالب پیریت باقی مانده است. به دلیل تاثیر شدید فرایندهای هوازدگی بر کانی‌سازی اولیه، کانی‌سازی ثانویه سولفیدی و اکسیدی در منطقه گسترش وسیعی یافته است. با توجه به تفاوت کانی‌شناسی پدید آمده، کانه‌زایی مهم در سطح شامل مالاکیت، آزوریت، اکسیدهای آهن (هماتیت و گوتیت) و به میزان کمتر کانی‌های سولفیدی کولولیت، کالکوزیت و پیریت هستند (شکل ۸). بیشترین گستردگی مالاکیت و اکسیدهای آهن در شرق، جنوب‌غربی، مرکز و شمال منطقه دیده می‌شود. کانی‌سازی اغلب در راستای زون‌های گسلی و شکستگی‌ها تشکیل شده است (شکل ۸). وجود سیستم آبراهه‌ای گستردۀ در منطقه نقش مهمی در گسترش زون اکسیده داشته است. همچنین وجود دگرسانی کربناتی و رگچه‌های کلسیتی در تشکیل مالاکیت به صورت گستردۀ در منطقه موثر بوده است.

ژئوشیمی

روش‌های ژئوشیمیایی، نقش مهمی در تعریف بی‌هنگاری‌های وابسته به کانسارهای دارای بیرون زدگی و فاقد بیرون زدگی دارند [۲۸]. یکی از اهداف پی‌جویی‌های ژئوشیمیایی، دستیابی



شکل ۸ نقشه‌ی کانی‌سازی منطقه‌ی شکسته‌سبز



شکل ۹ پراکندگی عناصر مس و روی در رسوب‌های آبراهه‌ای منطقه‌ی شکسته سبز به ترتیب الف و ب.

به منظور شرایط محل، نمونه‌برداری‌های ژئوشیمی نقشه دگرسانی با مقیاس ۱:۵۰۰۰ از قسمت مرکزی تهیه شد (شکل‌های ۱۰ تا ۱۳-ب). نمونه‌برداری در بخش مرکزی از رگه‌هایی با ترکیب کوارتز کریپتوکریستالین، هماتیت، مالاکیت و با مقادیر کمتر کالکوسیت و کوولیت انجام شد. هر ۱۷ نمونه برداشت شده از محل رگه‌ها در بخش مرکزی میزان تغییرات مس ۰.۶-۲.۴ درصد، روی ۰.۸-۱.۴ گرم در تن، سرب ۷۵۴-۲۴ گرم در تن، نقره ۱۰-۱۳ گرم در تن (شکل ۱۳-۱۰-ب)، مولیبدن ۷۷-۲۲۹۰ گرم در تن و طلا تا ۲۴ میلی‌گرم در تن بوده‌اند.

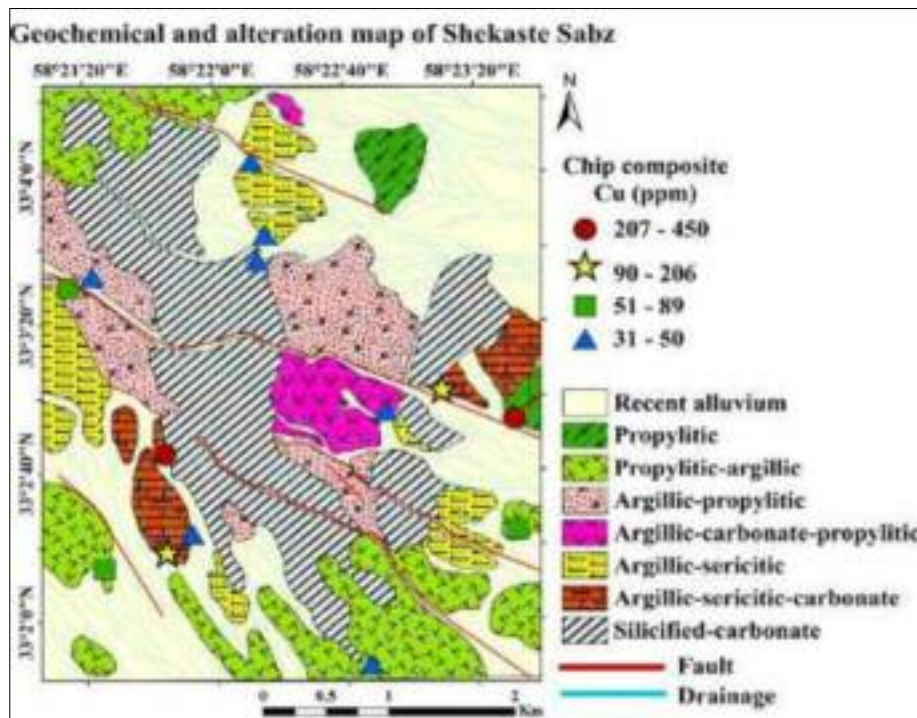
در نمونه‌های خردمندگی بررسی شده وابسته به کانی‌سازی پراکنده، میزان فراوانی مس از ۳۱ تا ۴۵۰ گرم در تن متغیر است (شکل ۱۰). بیشترین بی‌هنجری‌های مس در شرق منطقه به واحد بیوتیت هورنبلند آندزیت با دگرسانی پروپلیتیک وابسته است. کانی‌سازی در این واحد به صورت پراکنده دیده می‌شود. در جنوب‌غربی منطقه بیشترین بی‌هنجری مس مربوط به واحد هورنبلند آندزیت با دگرسانی آرژیلیک-سرسیتیک-کربناتی بود که کانی‌سازی در این واحد به صورت پراکنده دیده می‌شود. میزان فراوانی روی از ۳۸ تا ۱۳۳ گرم در تن متغیر است (شکل ۱۱. الف). بیشترین بی-

بیشترین مقدار روی، ۱۲۴ گرم در تن است (شکل ۹-ب). بیشترین مقدار روی در بخش مرکزی وابسته به آبراهه‌های ریشه گرفته از واحدهای لیتیک توف، هورنبلند آندزیت و بیشتر در ارتباط با دگرسانی‌های پروپلیتیک، آرژیلیک-سرسیتیک و سیلیسی و در شرق منطقه وابسته به آبراهه‌های برخاسته از واحدهای لیتیک توف، هورنبلند آندزیت و پیروکسن آندزیت و بیشتر در ارتباط با دگرسانی‌های آرژیلیک-پروپلیتیک و سیلیسی است. نتایج بررسی‌ها سرب، نقره، آرسنیک، طلا و آنتیمون بی‌هنجری قابل توجهی را نشان نمی‌دهد.

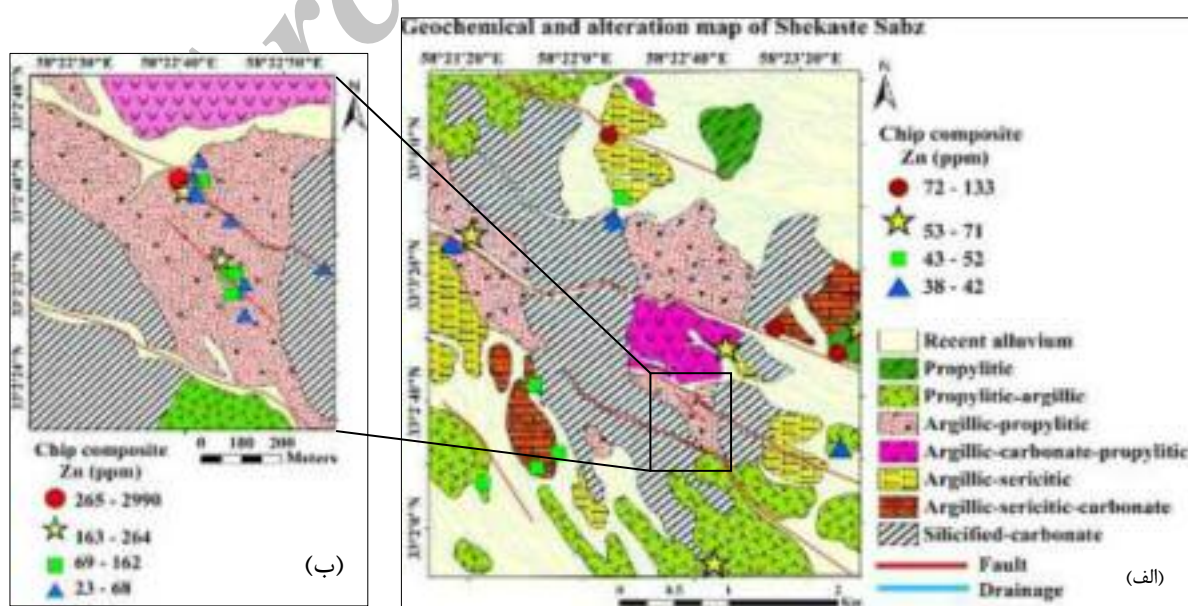
بی‌جويی‌های ژئوشیمیایی بر اساس سنگ در بررسی‌های ژئوشیمیایی بر اساس سنگ، داده‌های حاصل از بررسی ۳۲ نمونه که توسط سازمان صنایع و معادن انجام گرفته است، مورد تجزیه و تحلیل قرار گرفت [۲۲]. برداشت این نمونه‌ها از زون‌های دگرسانی و کانی‌سازی و به روش خرد-سنگی صورت گرفت. بررسی نمونه‌های ژئوشیمی بر مبنای سنگ برداشت شده در آزمایشگاه ALS-CHEMX کانادا به روش ICP-MS بوده است [۲۲]. نمونه از محل مربوط به رگه‌هایی که در بخش مرکزی منطقه قرار گرفته و ۱۵ نمونه دیگر از زون‌های دگرسانی و کانی‌سازی برداشت شده‌اند.

تن متغیر است (شکل ۱۲. الف). بیشترین بی‌هنجاری سرب به واحد بیوتیت هورنبلند آندزیت با دگرسانی پروپلیتیک و کانی‌سازی پراکنده وابسته است. نتایج بررسی‌های نقره (شکل ۱۳. الف) و آرسنیک بی‌هنجاری قابل توجهی را نشان نمی‌دهد.

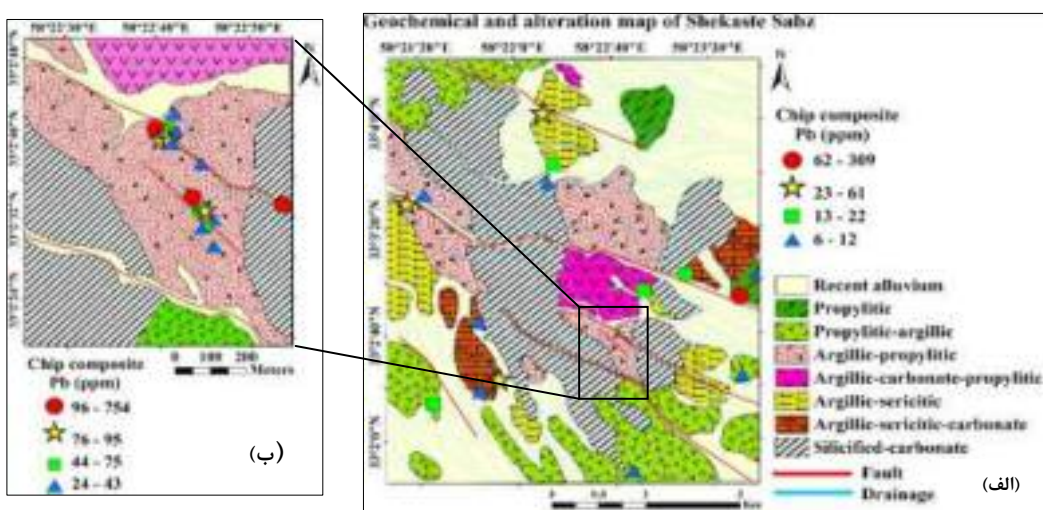
هنجاری روی در شرق منطقه و مربوط به واحد بیوتیت هورنبلند آندزیت با دگرسانی پروپلیتیک و در شمال منطقه با واحد پیروکسن آندزیت با دگرسانی آرژیلیک-سرسیتیک وابسته است. بی‌هنجاری‌های روی کانی‌سازی پراکنده در این واحدها همخوانی دارد. میزان فراوانی سرب از ۳۰۹ تا ۳۰۹ گرم در



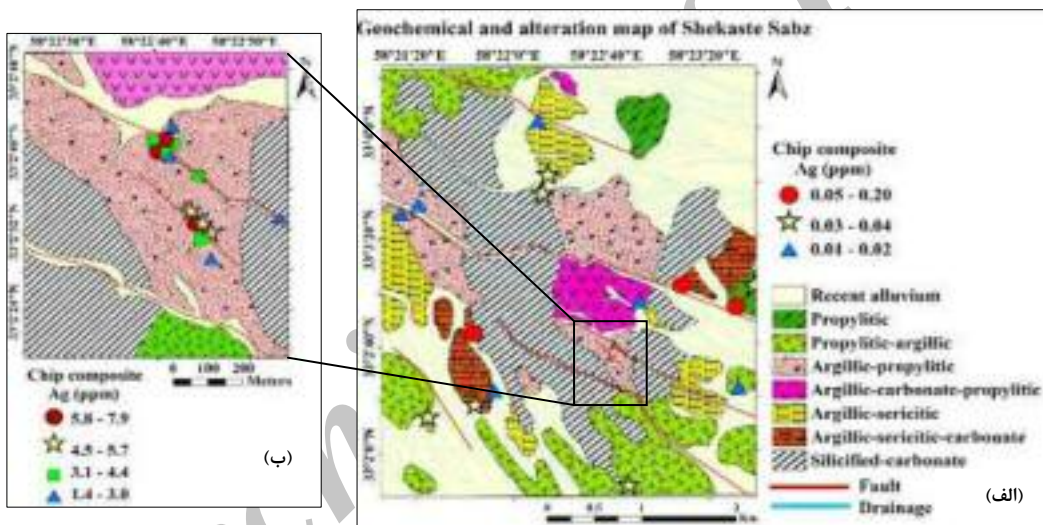
شکل ۱۰ پراکندگی عنصر مس در نمونه‌های خرده‌سنگی برداشت شده در منطقه‌ی شکسته سبز



شکل ۱۱ پراکندگی عنصر روی در نمونه‌های خرده‌سنگی برداشت شده در منطقه‌ی شکسته سبز.



شکل ۱۲ پراکندگی عنصر سرب در نمونه‌های خردمندگی برداشت شده در منطقه‌ی شکسته سبز.



شکل ۱۳ پراکندگی عنصر نقره در نمونه‌های خردمندگی برداشت شده در منطقه‌ی شکسته سبز.

قابل توجه در این توده‌ها، نشان می‌دهد که این توده‌ها در کانی‌سازی منطقه نقشی ندارند. برای بررسی خاستگاه کانی‌سازی در این منطقه نیاز به بررسی های گستردگر در گستره‌ی شمال خور است. بر اساس نتایج ژئوشیمیایی آبراهه‌ای، کانی‌سازی پراکنده و رگه‌ها همبستگی خوبی بین بی‌亨جاری‌های مس با روی و نقره و به میزان کمتر با سرب دیده می‌شود و میزان طلا قابل توجه نیست. با توجه به وجود سنگ‌های آتشفسنایی و آذرآواری، نوع دگرسانی‌ها، بی‌亨جاری عناصر مس، روی، مولیبدن و نقره، حضور کانی‌سازی به صورت رگه‌ای، رگچه‌ای و پراکنده و ارتباط کانی‌سازی‌ها با سیستم شکستگی‌ها می‌توان کانسار شکسته‌سبز را در رده‌ی کانسارهای وراگرما

برداشت
کانی‌سازی رگه‌ای و رگچه‌ای بیشتر در واحدهای آذرآواری شکل گرفته است که دگرسانی غالب آن‌ها آرژیلیک است. راستای رگه‌ها بیشتر شمال‌غربی- جنوب‌شرقی تا شمال‌شرقی- جنوب‌غربی است که از سیستم شکستگی‌های منطقه شمال خور پیروی می‌کند. رگه‌ها بیشتر سیلیسی- سولفیدی هستند و کانی‌های سولفیدی در سطح به شدت اکسید شده‌اند. کانی‌سازی پراکنده بیشتر در واحدهای آندزیتی دیده می‌شود که تحت تاثیر دگرسانی آرژیلیک- سرسیتیک و به مقدار کمتر پروپلیتیک قرار گرفته‌اند. توده‌های نفوذی منطقه دگرسانی ضعیفی دارند. نبود کانی‌سازی و بی‌亨جاری‌های ژئوشیمیایی

ضمیمه گزارش شماره ۳۳ ف، سازمان زمین‌شناسی کشور (۱۳۵۲).

[۱۰] شهاب‌پور ج، "زمین‌شناسی اقتصادی"، انتشارات دانشگاه شهید باهنر کرمان (۱۳۸۰) ۵۴۳ ص.

[11] Berberian M., Jackson J.A., Qorashi M., Khatib M.M., Priestley K., Talebian M., Ghafuri-Ashtiani, M., "The 1997 May 10 Zirkuh (Qaenat) earthquake (Mw 7.2): faulting along the Sistan suture zone of eastern Iran", Geophys. J. Int 136 (1999) 671-694.

[12] Tarkian M., Lotfi M., Baumann A., "Tectonic, magmatism and the formation of mineral deposits in the central Lut, east Iran", Ministry of mines and metals, GSI, geodynamic project (geotraverse) in Iran, No. 51 (1983) 357-383.

[۱۳] سامانی ب، اشتري ش، "تکوين زمین‌شناسی ناحيه سیستان و بلوچستان، فصلنامه علوم زمین، شماره ۴، سازمان زمین‌شناسی کشور (۱۳۷۱).

[۱۴] کریم‌پور م.ح، ملک‌زاده شفارودی آ، مظاہری س.ا، حیدریان شهری م.ح، "ماگماتیزم و انواع کانی‌سازی مس، طلا، قلع و تنگستان در بلوك لوت"، مجموعه مقالات پانزدهمین همایش انجمن بلورشناسی و کانی‌شناسی ایران، دانشگاه فردوسی مشهد (۱۳۸۶) ۵۹۸-۶۰۴.

[۱۵] کریم‌پور م.ح، ملک‌زاده شفارودی آ، فارمر ل، استرن ج، "پتروزنگر انتیوئیدها، سن سنگی زیرکن به روش U-Pb ژئوشیمی ایزوتوپ‌های Sr-Nd و رخداد مهم کانی‌سازی ترشیاری در بلوك لوت، شرق ایران، مجله زمین‌شناسی اقتصادی ایران (۱۳۹۱) ۲۷-۱.

[۱۶] لطفی محمد، "نقشه زمین‌شناسی سارونج، مقیاس ۱/۱۰۰۰۰۰۰، انتشارات سازمان زمین‌شناسی و اکتشافات معدنی (۱۹۹۵).

[17] Malekzadeh Shafaroudi A., Karimpour, M.H., "Hydrothermal alteration mapping in northern Khur, Iran, using ASTER image processing: a new insight to the type of copper mineralization in the area", Acta geologica sinica (2013), In press.

[۱۸] ملک‌زاده شفارودی آزاده، "زمین‌شناسی، کانی‌سازی، آلتراسیون، ژئوشیمی، میکروترموتری، مطالعات ایزوتوپی و تعیین منشا کانی‌سازی مناطق ماهرا آباد و خوبیک، استان خراسان جنوبی، پایان‌نامه دکتری (۱۳۸۸).

نوع رگه‌ای قرار داد. با توجه به رخداد فروزانش روی داده بین بلوك لوت و افغان و ماگماتیسم گستره‌های که شمال بلوك لوت را تحت تاثیر قرار داده است، حضور کانی‌سازی‌های پورفیری و وراگرمهای وابسته در شمال بلوك لوت دور از انتظار نیست. در منطقه‌ی شمال خور، بهدلیل حضور کانی‌سازی‌های از نوع سرب، روی و مس (شورک) و مس (حوض دغ، مهرخش، رشیدی و غار کفتری)، زون‌های دگرسانی گستره که طی پردازش‌های ماهواره‌ای آشکارسازی شده و حضور کانی‌سازی‌هایی مانند کانسار مس- طلای پورفیری ماهرا آباد و خوبیک، کانی‌سازی طلای خونیک و کانی‌سازی نوع طلای وراگرما سولفید بالای کوهشاه در بخش جنوب‌شرق این ناحیه می‌تواند نشانه‌هایی بر ارتباط کانی‌سازی وراگرما شکسته‌سیز با یک سیستم مس پورفیری در عمق باشد.

مراجع

- [1] Ruttner A., Stöcklin J., "Geological map of Iran, scale 1:1000,000", Geological Survey of Iran (1967).
- [2] Berberian M., King G. C. P., "Towards a paleogeography and tectonic evolution of Iran", Canadian Journal of Earth Sciences (1981) 18: 210-265.
- [3] Alavi M., "Tectonic map of the Middle East, scale 1:2,900,000", Geological Survey of Iran (1991).
- [4] Jung D., Keller J., Khorasani R., Marcks Chr., Baumann A., Horn P., "Petrology of the Tertiary magmatic activity the northern Lut area, east of Iran", Ministry of Mines and Metals, GSI, geodynamic project (geotraverse) in Iran, No. 51 (1983) 285-336.
- [۵] آقانباتی س.ع، "زمین‌شناسی ایران، سازمان زمین‌شناسی و اکتشافات معدنی کشور" (۱۳۸۳) ۵۸۶ ص.
- [۶] امامی م.ح، "ماگماتیسم در ایران، سازمان زمین‌شناسی و اکتشافات معدنی کشور" (۱۳۷۹) شماره ۷۱، ۶۲۲ ص.
- [7] Camp V.E., Griffis R.J., "Character, genesis and tectonic setting of igneous rocks in Sistan Suture Zone", Lithos 15 (1982) 221-239
- [8] Tirrul R., Bell I.R., Griffis R.J. Camp V.E., "The Sistan Suture Zone of eastern Iran", Geol. Soc. Amer. Bull (1983) 134-150.
- [۹] افتخارنژاد ج، "مطلبی چند درباره تشکیل حوضه رسوبی فلیش در شرق ایران و توجیه آن با تئوری تکتونیک صفحه‌ای" ،

میانگین بازتاب داخلی نسبی و لگاریتم باقیمانده جهت نقشه برداری از کانی های مناطق دگرسان شده، سیزدهمین کنفرانس ژئوفیزیک ایران (۱۳۸۷) ۳۱۵-۳۱۲.

[25] Zhonghai He., Binbin He., Cui ying, "Hydrothermal alteration mapping using Aster data in east Kunlun mountain, China", (2010).

[26] ENVI User's Guide, "ENVI User's Guide V. 4.0" Research Systems, Inc, (2003) 1084p.

[27] Kruse F. A., Lefkoff A. B., Boardman J. W., Heidebrecht K. B., Shapiro A. T., Barloon J. P., and Goetz A. F. H., "The spectral image processing system (SIPS) – Interactive", (1993).

[28] Robert F., Brommecker R., Bourne B.T., Dobak P.J., McEwan, C.J., "Fifth Decennial International Conference on Mineral Exploration", Ore Deposits and Exploration Technology (2007) Paper 48, 691-711.

[29] Rose A.W., Burt D.M., "Hydrothermal alteration in Barnes, H.L., ed", Geochemistry of hydrothermal ore deposits, New York, USA, John Wiley and Sons (1979) 173-235.

[۱۹] عبدی م، کریمپور م.ح، نجفی ع، "زمین‌شناسی، آلتراسیون و پتانسیل کانه‌زایی در منطقه کوه‌شاه، خراسان جنوبی"، نخستین همایش انجمن زمین‌شناسی اقتصادی، دانشگاه فردوسی (۱۳۸۹).

[۲۰] سمیعی سمیه، کریمپور م.ح، قادری مجید، حیدریان شهری م.ح، "زمین‌شناسی، دگرسانی و پتانسیل کانه‌زایی در منطقه خونیک، جنوب بیرجند"، دومین همایش انجمن زمین‌شناسی اقتصادی، دانشگاه لرستان (۱۳۹۰).

[۲۱] اکتشاف نیمه تفصیلی مواد معدنی در شهرستان سرایان، "شرکت پارس کانی و شرکت تحقیق و گسترش صنایع معدنی"، (۱۳۸۶)، ۲۰۵ ص.

[۲۲] جمیع علی رضا، "پروژه اکتشاف تفصیلی مواد معدنی در شهرستان سرایان"، سازمان صنایع و معادن استان خراسان جنوبی (۱۳۸۷)، ۲۰۴ ص.

[23] Pérez D.J., Crósta A.P., Souza Filho C.R., Marín G." Mineral mapping exploration using hyperspectral AVIRIS data in Los Menucos area, Río Negro province (67°51'W- 40°53'S), Argentina", (2000) 99-672.

[۲۴] معصومی ف، رنجبر ح، "مقایسه بین داده‌های تصویح شده سنجنده ASTER با روش‌های نرم‌البیزه شده،